

京都大学工学部 正員 岩垣 雄一  
 京都大学大学院 学生員 五道 仁実  
 京都大学工学部 正員 岩垣 雄一

1. 緒言 最近の L.D.V. をはじめとする計測技術の進歩や、大水深の造波水槽の出現により、今まで未解明であった乱流境界層の特性が明らかにされる期待は現実のものになりつつある。乱流境界層の取扱いには、乱流輸送方程式に基づく研究(林・篠田; 1979, 水講)もあるが、渦動粘性係数を用いる取扱いは解析的な表現が得られる点に長所がある。(しかし渦動粘性係数は層流の場合の動粘性係数のように水の物性に基づくものではなく、便宜的に導入されたものにすぎない)ため、研究者によってその仮定の仕方は様々である。そのために研究者による結果の相違が、渦動粘性の大きさによるのか、分布形によるのかは明確には整理されていない。

本研究は渦動粘性係数の大きさと水深方向の分布を区別して考察するとともに、実測データとの比較・検討を行ったものである。また渦動粘性は波の位相によつても変動すると考えられるが、著者の知る限りではこれを考慮した研究は全く見当らない。そこで本研究では渦動粘性の位相変化を考慮した場合についても若干の検討を行う。

## 2. 渦動粘性の大きさを変化させたモデル

ここでは従来の渦動粘性係数  $N(z)$  の仮定にパラメータ  $\alpha$  を乗じたものを考える。

$$N(z) = \alpha k u_* z \quad \dots (1)$$

ここに  $k$  はカルマン定数、 $u_*$  は摩擦速度、 $z$  は底面からの距離である。波動乱流境界層においては、位相とともに乱流一層流一乱流の状態をくり返すことが考えられるので、渦動粘性の大きさは定常流のそれより減少するとして、1より小さな  $\alpha$  を導入した。解くべき境界層方程式は次式である。

$$\frac{\partial u_d}{\partial z} = \frac{2}{\partial z} \left( \alpha k u_* z - \frac{\partial u_d}{\partial z} \right) \quad \dots (2)$$

ここに  $u_d$  は文頭速度である。この方程式を浅野・岡本・岩垣(1983, 海講)が示した手法によって解いた。

図1に位相0およびπにおける計算結果を示す。図中には Bakker-van Doorn (1978, I.C.C.E.) による実験値がプロットしてある。ここでは、粗度高さ  $d$  を 1.2mm として計算を行った。位相0における実験値は  $z$  が約 5mm から 20mm の範囲で外縁流速より大きくふくらみ(以後これを over-shooting と呼ぶ)、 $\alpha=1$  とした従来の渦動粘性係数の設定では、計算結果はこの現象を表現できないことわかる。 $\alpha$  を小さくすると、計算結果に over-shooting が現われ、実測値にいくぶん近づく。図2は  $\alpha=0.5$  の場合の結果であり、位相πにおいて

図1  $\alpha$  による境界層内水粒子速度の変化

は実験値と良く一致しているが、over-shooting 現象を示す位相0においては、まだ実験値とかなりの差が見られる。図3は  $\alpha$  を変化させた場合の境界層の水理量の変化を示したものである。

図2  $\alpha=0.5$  の場合の計算値と Bakker 5 の実験値との比較

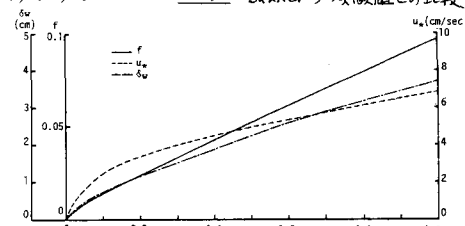
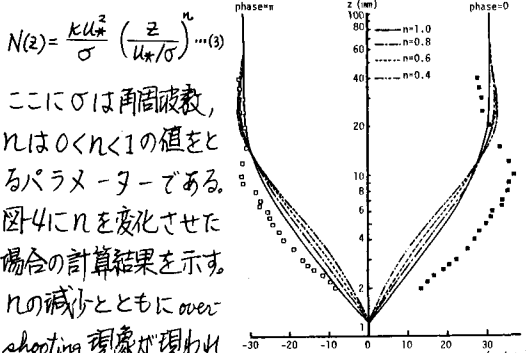


図3  $\alpha$  による境界層の水理特性量の変化

### 3. 涡動粘性の分布を変化させたモデル

波動場の層流境界層解は速度分布に over-shooting が見られること、 $\bar{z}$  に比例する渦動粘性係数を用いた場合には over-shooting が顕著でないことを考へると、渦動粘性の分布形としてこの  $n$  の乗から 1 乗の間に実験値を説明するものがあるのではないかと考えた。また林ら(1976, 通講)の乱流輸送モデルによる計算結果から渦動粘性係数を逆算すると位相平均して  $(\bar{z}/D)^{0.68}$  ( $D$ : 管径の  $1/2$ ) に比例する事実が得られたことを考慮して、次の形の渦動粘性係数について考察する。



ここに  $\bar{z}$  は角周波数、  
 $n$  は  $0 < n < 1$  の値をとるパラメーターである。  
図-4にこれを変化させた場合の計算結果を示す。  
 $n$  の減少とともに over-shooting 現象が現われることがわかる。

図-4  $n$  による境界層内水粒子速度の変化

### 4. 渦動粘性の位相変化を考慮したモデル

波動運動下においては、境界層内で乱流・層流状態が交互に現われると考へて、ここでは渦動粘性係数に周期変動性を考慮した取り扱いを行う。すなむち、従来の時間に不变な渦動粘性に、波動の  $n$  倍 ( $n$ ; 正整数) の周波数を持ち、位相差  $\varphi$  を有する変動が加わった次式を仮定する。

$$N(z) = K U_* \bar{z} \left[ 1 + a \exp(i n \varphi t + i \varepsilon) \right] \quad (4)$$

そのときの無次元化された境界層方程式は

$$\frac{\partial \bar{u}_d}{\partial \bar{z}} = \frac{\partial}{\partial \bar{z}} \left[ \bar{z} \left\{ 1 + a \exp(i n \varphi t + i \varepsilon) \right\} \frac{\partial \bar{u}_d}{\partial \bar{z}} \right] \quad (5)$$

ここに、 $\bar{u}_d = u_d/U$  ( $U$ : 境界層外縁での水粒子速度振幅)

$$\varphi = \omega t, \bar{z} = 8\sigma/KU_* \quad (6)$$

である。 $a$  を微小量として  $\bar{u}_d$  の擾動解を求める。すなむち、 $\bar{u}_d = \bar{u}_{d1} + a \bar{u}_{d2} + a^2 \bar{u}_{d3} + \dots$  (7) を(5)式に代入して  $a$  の次数で整理すると、 $a$  の 0 次および 1 次の項から次の関係式が得られる。

$$a^0: \frac{\partial \bar{u}_{d1}}{\partial \bar{z}} = \frac{\partial}{\partial \bar{z}} \left\{ \bar{z} \frac{\partial \bar{u}_{d1}}{\partial \bar{z}} \right\} \quad (8)$$

$$a^1: \frac{\partial \bar{u}_{d2}}{\partial \bar{z}} = \frac{\partial}{\partial \bar{z}} \left\{ \bar{z} \frac{\partial \bar{u}_{d1}}{\partial \bar{z}} \exp(i n \varphi t + i \varepsilon) + \bar{z} \frac{\partial \bar{u}_{d2}}{\partial \bar{z}} \right\} \quad (9)$$

ここで、 $\bar{z} = 2 \exp(-i\pi/4) \sqrt{\bar{z}}$  (10)

と変数変換すれば、(8),(9)式はそれぞれ首次、非首次のベッセルの微分方程式となる。最終的に境界層内の水粒子速度として次式が得られる。

$$u = \text{Real} \left[ U \exp(i \varphi t) + V_1 \exp(i \varphi t) + \frac{a}{n} V_2 \exp \{ i(n+1)\varphi t + i\varepsilon \} \right] \quad (11)$$

ここで、

$$V_1 = - \frac{N_1(\beta_h) J_0(\beta) - J_1(\beta_h) N_0(\beta)}{N_1(\beta_h) J_0(\beta_h) - J_1(\beta_h) N_0(\beta_0)} \quad (12)$$

$$V_2 = \left[ \begin{aligned} & \left\{ \frac{N_1(\sqrt{n+1}\beta_h) J_0(\sqrt{n+1}\beta) - J_1(\sqrt{n+1}\beta_h) N_0(\sqrt{n+1}\beta)}{N_1(\sqrt{n+1}\beta_h) J_0(\sqrt{n+1}\beta_0) - J_1(\sqrt{n+1}\beta_h) N_0(\sqrt{n+1}\beta_0)} \right. \\ & \left. - \frac{N_1(\beta_h) J_0(\beta) - J_1(\beta_h) N_0(\beta)}{N_1(\beta_h) J_0(\beta_0) - J_1(\beta_h) N_0(\beta_0)} \right\} \end{aligned} \right] \quad (13)$$

ただし、 $\beta_0 = 2e^{-i\pi/4}\sqrt{\bar{z}_0}$ ,  $\beta_h = 2e^{-i\pi/4}\sqrt{\bar{z}_h}$  (14)

ここで  $\bar{z}_0$ ,  $\bar{z}_h$  は粗度高さ  $z_0$ , 境界層外縁位置  $z_h$  に対して(6)式から定まる無次元量である。また  $J_0$ ,  $J_1$  はベッセルの零次,  $N_0$ ,  $N_1$  はノイマン対称である。日野・沢本ら(1975, 土木学会論文集)は円管内振動流において乱れは減速期で形成されると報告していることを考慮すると(5)式の  $n$  は 2 とする必要があり、その場合には(11)式より水粒子速度に主流の 3 倍周波数成分が重なることになる。

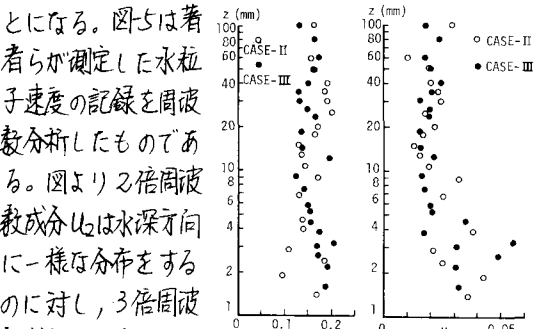


図-5は著者らが測定した水粒子速度の記録を周波数分析したものである。図より 2 倍周波数成分  $u_2$  は水深方向に一様な分布をするのにに対し、3 倍周波数成分  $u_3$  は底面近くで大きな値をとっている。この渦動粘性

の位相変化と平均流速の関係については、今後さらに検討する必要がある。5. 結言 以上、渦動粘性係数の大きさ、分布および位相変化による、境界層内水粒子速度の特性を個々に調べたが、実験値を表現するためには、これらを組合せた形のモデルの検討が必要であろう。最後に貴重な御助言を頂いた鳥取大学工学部野田英明教授に感謝の意を表するとともに、本研究が文部省科学研究所(一般研究(A), 補助研究(A))の補助を受けたことを記し、謝意を表す。